

# 空洞を有する地盤の粘弹性変形

秋田大学 (正会員) 色部 誠  
秋田大学 (学生会員) ○赤木知之

## 1. 緒言

最近、秋田地方では、地下資源の採掘による地盤沈下が、しばしば問題とされている。実際の沈下は、きわめて緩慢、長期にわたるものであり、これの扱いには、粘弹性論的なアプローチが、必要であろうと思われる所以、標題について、以下のような解法を試みてみた。

最近発表された線形粘弹性問題の有限要素による解は、文献(1), (2)に見られるが、これらは、クリープコンプライアンスを用いて、応力-ひずみ関係式を導いている。本報告は、逆に緩和函数を用いて、応力-ひずみ関係を定め、微少時間内でのひずみ速度を一定として、応力-ひずみの増分関係式を導びき、増分解法の基礎式を求めた。粘弹性定数を定める実験の難度を考えなければ、緩和函数を用いた方が、簡単な計算式になり、計算精度はあがる。

## 2. 構成方程式

### 2. 1 積分表示

粘弹性体の時刻 $t$ における状態は、時間でだけ遡りた( $t-\tau$ )の瞬間の状態に依存する。このような履歴現象は一般に汎用性を用いて

$$S(t) = F(f(\tau), t) \quad (1)$$

によってあらわすことができる。履歴効果が線形累加的であるときは

$$S(t) = \int_{\infty}^t K(t-\tau) \cdot f(\tau) d\tau \quad (2)$$

線形粘弹性体の多軸応力状態における応力-ひずみ関係式は、(2)式の履歴積分を用いて

$$\sigma_{ij}(t) = \delta_{ij} \int_{\infty}^t K(t-\tau) \frac{d\varepsilon_{rr}}{d\tau} d\tau + 2 \int_{\infty}^t G(t-\tau) \frac{d\varepsilon'_{ij}}{d\tau} d\tau \quad (3)$$

ここで、 $K(t)$ ,  $G(t)$ は、それぞれ、体積緩和函数、せん断緩和函数であり、 $\delta_{ij}$ ,  $\varepsilon_{rr}$ ,  $\varepsilon'_{ij}$ は、単位テンソル、体積ひずみ、偏差ひずみテンソルである。

又、fading memory の公理により、 $K(t)$ ,  $G(t)$ は Prony 級数で、次のように表わせる。

$$K(t) = K_{\infty} + \sum_{\alpha=1}^n K_{\alpha} e^{-t/\tau_{K,\alpha}}, \quad G(t) = G_{\infty} + \sum_{\alpha=1}^n G_{\alpha} e^{-t/\tau_{G,\alpha}} \quad (4)$$

従って、(3)式にこれらを代入し、積分下限を0にとって、初期のみだれの効果を考えれば

$$\begin{aligned} \sigma_{ij}(t) &= \delta_{ij} [K_{\infty} \varepsilon_{rr}(t) + \sum_{\alpha} K_{\alpha} \varepsilon_{rr}(0) e^{-t/\tau_{K,\alpha}} + \int_0^t \dot{\varepsilon}_{rr}(\tau) \sum_{\alpha} K_{\alpha} e^{-(t-\tau)/\tau_{K,\alpha}} d\tau] \\ &\quad + 2 [G_{\infty} \varepsilon'_{ij}(t) + \sum_{\alpha} G_{\alpha} \varepsilon'_{ij}(0) e^{-t/\tau_{G,\alpha}} + \int_0^t \dot{\varepsilon}'_{ij}(\tau) \sum_{\alpha} G_{\alpha} e^{-(t-\tau)/\tau_{G,\alpha}} d\tau] \end{aligned} \quad (5)$$

## 2.2 微分表示

記憶積分とは別に、時間依存性を考え、線形粘弹性理論における応力-ひずみ関係式として、次のようなものも採用されている。

$$P_1(D) \sigma_{ij}' = Q_1(D) \dot{\varepsilon}_{ij}' , \quad P_2(D) \sigma_{rr} = Q_2(D) \dot{\varepsilon}_{rr} \quad (6)$$

これらをまとめると

$$\sigma_{ij}(t) = \frac{1}{3} \delta_{ij} \left[ \frac{Q_2(D)}{P_2(D)} - \frac{Q_1(D)}{P_1(D)} \right] \varepsilon_{rr} + \frac{Q_1(D)}{P_1(D)} \dot{\varepsilon}_{ij} \quad (7)$$

ここで、図-1 のような一般化 Maxwell モデルを考え、(7)式を单軸応力状態について記述すれば、

$$\sigma(t) = \left( E_\infty + \sum_a \frac{E_a \eta_a D}{E_a + \eta_a D} \right) \varepsilon(t) \quad (8)-1$$

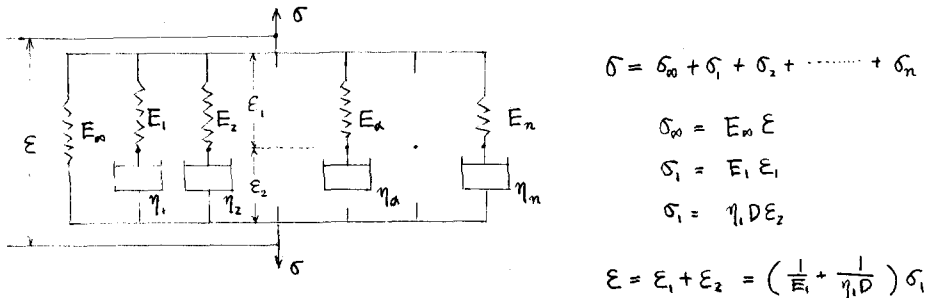


図-1 一般化 Maxwell モデル

(8)式の演算を実行すれば

$$\sigma(t) = E_\infty \varepsilon(t) + \int_0^t \dot{\varepsilon}(c) \sum_a E_a e^{-(t-c)/T_{a,\alpha}} dc + \sum_a \sigma_a(0) e^{-t/T_{a,\alpha}} \quad (8)-2$$

ここで、 $T_\alpha = \eta_\alpha / E_\alpha$  で 緩和時間をあらわす。これは(5)式と同形であり、結局 積分表示でも、微分表示でも、同じ結果になるのは当然のことである。

## 2.3 増分形 応力-ひずみ関係式

(5)式において、積分下限を  $t-\Delta t$  にとり、かつひずみ速度は  $\Delta t$  時間内で一定とし

$$\dot{\varepsilon}_{rr}(t) = \Delta \varepsilon_{rr}(t) / \Delta t , \quad \dot{\varepsilon}_{ij}'(t) = \Delta \varepsilon_{ij}'(t) / \Delta t$$

とあらわすと、積分が可能になり、(5)式は次のようにならわせる。

$$\begin{aligned} \sigma_{ij}(t) = & \delta_{ij} \left[ K_m \{ \varepsilon_{rr}(t-\Delta t) + \Delta \varepsilon(t) \} + \sum_a \sigma_{rr,a}(t-\Delta t) e^{-\Delta t/T_{K,a,\alpha}} \right. \\ & + \frac{\Delta \varepsilon_{rr}(t)}{\Delta t} \sum_a K_a T_{K,a} (1 - e^{-\Delta t/T_{K,a,\alpha}}) \Big] + 2 \left[ G_{\infty} \{ \varepsilon_{ij}'(t-\Delta t) + \Delta \varepsilon_{ij}'(t) \} \right. \\ & \left. + \sum_a \sigma_{ij,a}'(t-\Delta t) e^{-\Delta t/T_{G,a,\alpha}} + \frac{\Delta \varepsilon_{ij}'(t)}{\Delta t} \sum_a K_G T_{G,a} (1 - e^{-\Delta t/T_{G,a,\alpha}}) \right] \end{aligned} \quad (9)$$

更に  $\Delta \sigma_{ij}(t) = \sigma_{ij}(t) - \sigma_{ij}(t-\Delta t)$ ,  $\sum \sigma_{ij,\alpha}(t-\Delta t) = \sigma_{ij}(t-\Delta t) - \sigma_{ij,\alpha}(t-\Delta t)$  なる関係式を考慮すれば、次式のように増分形応力-ひずみ関係式を得る。

$$\Delta \sigma_{ij}(t) = S_{ij} \left[ K_v \Delta \varepsilon_{rr}(t) - \Delta I_{K,rr}(t) \right] + 2 \left[ G_v \Delta \varepsilon'_{ij}(t) - \Delta I'_{G,ij}(t) \right] \quad (10)$$

$$K_v = K_m + \sum_a K_a \frac{\tau_{K,a}}{2t} \left\{ 1 - e^{-\Delta t/\tau_{K,a}} \right\}, \quad G_v = G_m + \sum_a G_a \frac{\tau_{G,a}}{2t} \left\{ 1 - e^{-\Delta t/\tau_{G,a}} \right\} \quad (11)$$

$$\begin{aligned} \Delta I_{K,rr} &= \sum_a \left\{ 1 - e^{-\Delta t/\tau_{K,a}} \right\} \left\{ \sigma_{rr}(t-\Delta t) - K_m \varepsilon_{rr}(t-\Delta t) \right\} \\ \Delta I_{G,rr} &= \sum_a \left\{ 1 - e^{-\Delta t/\tau_{G,a}} \right\} \left\{ \sigma_{rr}(t-\Delta t) - G_m \varepsilon_{rr}(t-\Delta t) \right\} \\ \Delta I'_{G,ij} &= \sum_a \left\{ 1 - e^{-\Delta t/\tau_{G,a}} \right\} \left\{ \sigma'_{ij}(t-\Delta t) - G_m \varepsilon'_{ij}(t-\Delta t) \right\} \end{aligned} \quad (12)$$

更に、一般ひずみテンソルを用いれば

$$\Delta \varepsilon'_{ij} = \Delta \varepsilon_{ij} - \frac{1}{3} \Delta \varepsilon_{rr} \delta_{ij}, \quad \sigma'_{ij} = \sigma_{ij} - \frac{1}{3} \sigma_{rr} \delta_{ij} \quad (13)$$

の関係を、(10)式に用いて次式を得る。これをマトリックス表示したものが (15)式である。

$$\begin{aligned} \Delta \sigma_{ij}(t) &= S_{ij} \left( K_v - \frac{2}{3} G_v \right) \Delta \varepsilon_{rr}(t) + 2 G_v \Delta \varepsilon'_{ij}(t) \\ &\quad - S_{ij} \left( \Delta I_{K,rr} - \frac{2}{3} \Delta I_{G,rr} \right) - 2 \Delta I'_{G,ij} \end{aligned} \quad (14)$$

$$\begin{pmatrix} \Delta \sigma_{11} \\ \Delta \sigma_{22} \\ \Delta \sigma_{33} \\ \Delta \sigma_{23} \\ \Delta \sigma_{31} \\ \Delta \sigma_{12} \end{pmatrix} = \begin{pmatrix} K_v + \frac{4}{3} G_v \\ K_v - \frac{2}{3} G_v \quad K_v + \frac{4}{3} G_v \\ K_v - \frac{2}{3} G_v \quad K_v - \frac{2}{3} G_v \quad K_v + \frac{4}{3} G_v \\ 0 \quad 0 \quad 0 \quad 2 G_v \\ 0 \quad 0 \quad 0 \quad 0 \quad 2 G_v \\ 0 \quad 0 \quad 0 \quad 0 \quad 0 \quad 2 G_v \end{pmatrix} \text{SYM} \quad \begin{pmatrix} \Delta \varepsilon_{11} \\ \Delta \varepsilon_{22} \\ \Delta \varepsilon_{33} \\ \Delta \varepsilon_{23} \\ \Delta \varepsilon_{31} \\ \Delta \varepsilon_{12} \end{pmatrix} - \begin{pmatrix} 2000001 \\ 0200001 \\ 0020001 \\ 0002000 \\ 0000200 \\ 0000020 \end{pmatrix} = \begin{pmatrix} \Delta I_{G,11} \\ \Delta I_{G,22} \\ \Delta I_{G,33} \\ \Delta I_{G,23} \\ \Delta I_{G,31} \\ \Delta I_{G,12} \\ \Delta I_B \end{pmatrix} \quad (15)$$

但し  $\Delta I_B = \Delta I_{K,rr} - \frac{2}{3} \Delta I_{G,rr}$ , (15)式を略記して

$$\{\Delta \sigma\} = [D_v] \{\Delta \varepsilon\} - \{\Delta \sigma_v\} \quad (16)$$

### 3. 剛性方程式

要素内のひずみ増分  $\{\Delta \varepsilon\}$  が節点変位増分と次の関係で結ばれるとする。

$$\{\Delta \varepsilon\} = [B] \{\Delta \delta\} \quad (17)$$

(16), (17)式を適用し仮想仕事の原理より、次の剛性方程式が得られる。

$$\{\Delta F\} = [K_v] \{\Delta \delta\} - \{\Delta F_v\} - \{\Delta F_p\} \quad (18)$$

ここで  $[K_v] = \int_V [B]^T [D_v] [B] dV$ ,  $\{\Delta F_v\} = \int_V [B]^T \{\Delta \delta_v\} dV$ ,  $\{\Delta F_p\} = \int_V [N]^T \{\Delta P\} dV$   
等であり、それぞれ 剛性マトリックス、粘弾性変形によるみかけの節点力、および物体力による節  
点力増分をあらわす。

全体の剛性方程式は(18)式に示した、要素の剛性方程式を組合せて完成する。

#### 4. 計算例

計算モデルは、図-2に示す。Y軸  
外力は物体力のみが働き、空洞は  
 $t=0$  の瞬間に生じたものとする。

使用した材料特性及び諸定数は  
次のとおり。

$$G_{\infty} = 8 \times 10^4 \text{ kg/cm}^2$$

$$G_1 = 3.8 \times 10^4 \text{ "}$$

$$K_m = 1.0 \times 10^6 \text{ "}$$

$$K_t = 4.9 \times 10^5 \text{ "}$$

$$T_{G,1} = 100 \text{ 日}$$

$$T_{K,1} = 100 \text{ 日}$$

$$\Delta t = 10 \text{ 日}$$

$$\rho = 0.002 \text{ kg/cm}^3$$

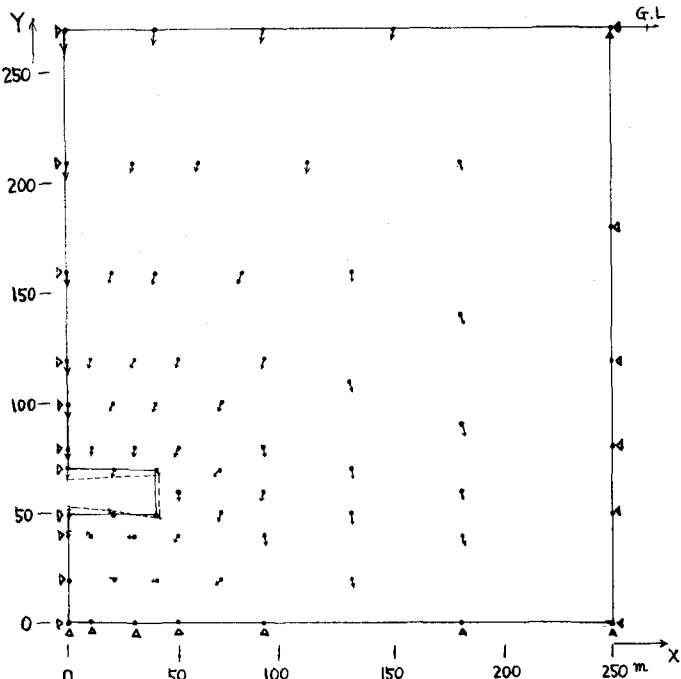


図-2 空洞の変形及び節点の変位

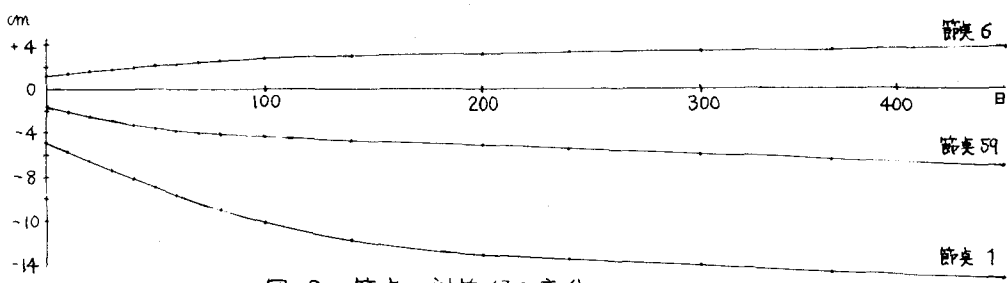


図-3 節点の計算経日変位

#### 5. 文 獻

- 1). 山田, 岩田;「熱粘弾性問題の有限要素法解析」第5回マトリックス構造解析法研究発表論文集
- 2). D.M. Malone, J. Conner; "Finite Elements and Dynamic Viscoelasticity"  
Jour. of the Engineering Mechanical Division, August, 1971